

Решение квантовых задач рассеяния на основе дискретизации континуума

О.А. Рубцова,

Лаборатория теории атомного ядра НИИЯФ МГУ

*XII Зимняя школа по теоретической физике
Малочастичные системы: теория и приложения
ОИЯИ, 3 февраля 2014 г.*

Содержание

1. Решение задач рассеяния на основе подходов L_2 типа.
 2. Формализм стационарных волновых пакетов.
 3. Связь между стационарными волновыми пакетами и псевдосостояниями.
 4. Описание рассеяния в малочастичных системах в дискретном по энергии представлении.
 5. Построение эффективных потенциалов взаимодействия составных частиц.
- Заключение.

Собственные состояния гамильтониана

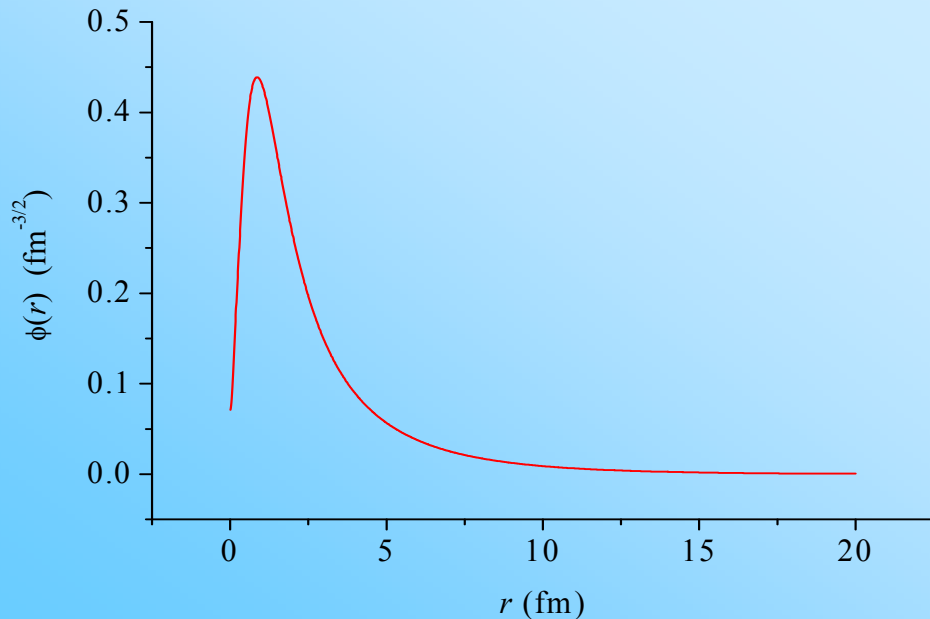
Дискретный спектр

Решения уравнения Шредингера существует при дискретных энергиях

$$H|\psi_k\rangle = E_k|\psi_k\rangle, \quad k = 1, \dots, M$$

Асимптотическое граничное условие для связанных состояний

$$\Psi_k(r) \underset{r \rightarrow \infty}{\sim} \exp(-\kappa r), \quad \kappa = \sqrt{-2mE_k / \hbar^2}$$



Непрерывный спектр

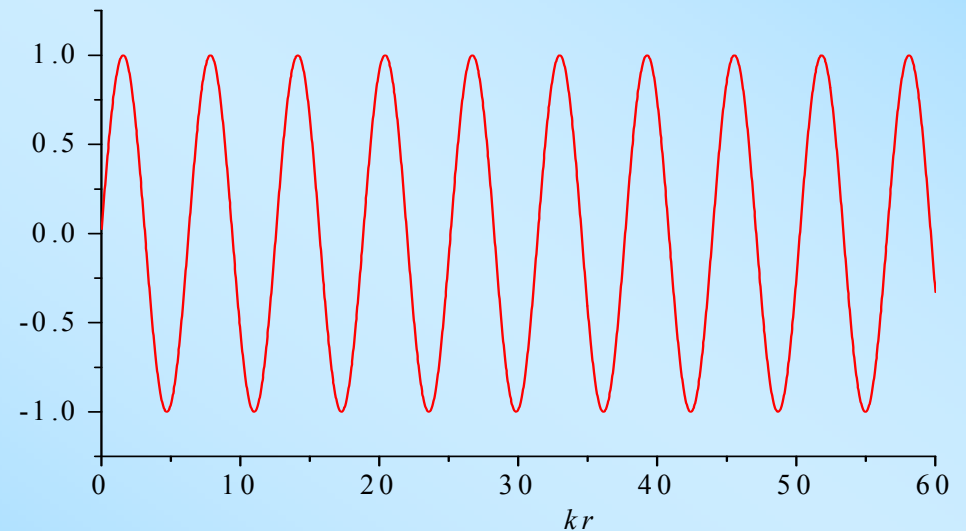
Решение уравнения Шредингера

$$H|\psi\rangle = E|\psi\rangle$$

существует при любом положительном E .

Волновые функции непрерывного спектра не убывают на асимптотике.

$$\psi_l(r) \underset{r \rightarrow \infty}{\longrightarrow} A(E) \sin\left(kr + \delta_l - \frac{l\pi}{2}\right)$$



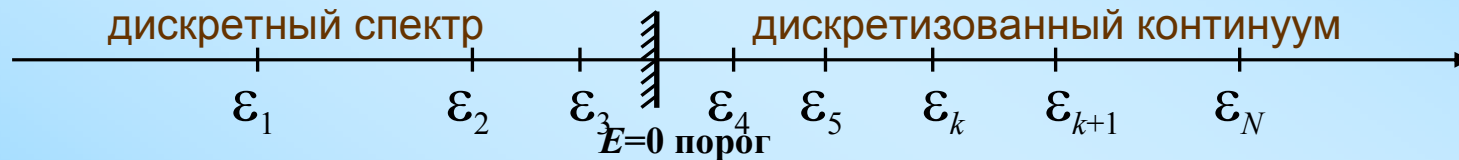
Подходы L_2 типа

Разложение собственных волновых функций гамильтониана по некоторому базису конечной размерности приводит к дискретизации непрерывного спектра этого гамильтониана.

$$H |\Psi\rangle = E |\Psi\rangle \quad \leftarrow \quad |\Psi\rangle = \sum_{n=1}^N C_n |\phi_n\rangle$$

Задача на собственные значения матрицы гамильтониана:

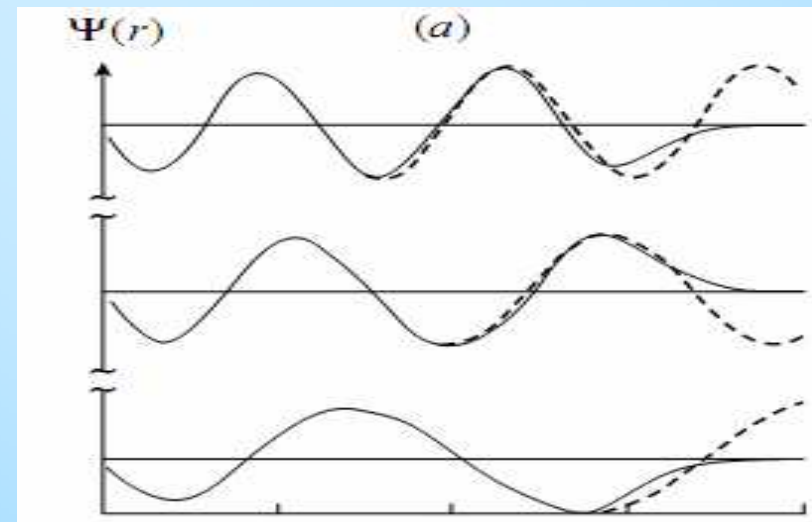
$$\det \| H_{nn'} - E \| = 0 \Rightarrow \{ \varepsilon_n \}_{n=1}^N, |\Psi_n\rangle$$



$\varepsilon_n < 0$ – **связанные состояния**

$\varepsilon_n > 0$ – **псевдосостояния континуума**

Функции псевдосостояний во внутренней области взаимодействия могут хорошо воспроизводить поведение точных функций непрерывного спектра.



Два способа решения задачи рассеяния

«Дифференциальный» подход

$$H |\psi(E)\rangle = E |\psi(E)\rangle$$

Асимптотическое поведение в.ф.:

$$\psi(E, r) \xrightarrow{r \rightarrow \infty} e^{-i\left(kr - \frac{l\pi}{2}\right)} + S_l(E) e^{i\left(kr - \frac{l\pi}{2}\right)}$$

Элементы S-матрицы находятся из сшивки волновой функции во внутренней области с асимптотикой.

$$S_l(E) = e^{2i\delta_l(E)}$$

Интегральный подход

$$|\psi^{(+)}(E)\rangle = |\psi_0(E)\rangle + G_0^{(+)} V |\psi^{(+)}(E)\rangle$$

Элементы S-матрицы находятся из интегральной формулы

$$T_l(E) = \langle \psi_{0l}(E) | V | \psi_l^{(+)}(E) \rangle$$

$$S_l(E) = 1 + 2\pi i T_l(E)$$

В случае короткодействующего потенциала взаимодействия для нахождения наблюдаемых достаточно знать волновую функцию в его внутренней области.

Подходы L_2 -типа

- Асимптотическое поведение волновой функции

- Методы на основе вариационного принципа Кона–Хюльтена.
- Метод R-матрицы.
- Метод связанных каналов дискретизованного континуума.

- Интегральный подход

- Методы на основе вариационного принципа Швингера.
- Метод моментов для построения резольвенты гамильтониана.
- Метод интегральных преобразований (Lorentz Integral Transform)

-Метод J-матрицы (Осцилляторное представление).

Проблемы:

Явный учет граничных условий

Построение конечномерных аппроксимаций операторов в L_2 базисах.

Метод собственных дифференциалов Вейля

Собственный дифференциал функции непрерывного спектра:

$$|\Psi(E, E + \Delta)\rangle = \int_E^{E+\Delta} |\Psi(E')\rangle dE'.$$

Такие состояния являются нормируемыми.

Тогда, согласно методу Вейля, полная система ортогональных функций гамильтониана состоит из связанных состояний и собственных дифференциалов

$$\left\{ |\Psi_k\rangle_{k=1}^{N_b}, |\Psi(E, E + \Delta)\rangle_{E=0}^{\infty} \right\}$$

Разложение произвольной волновой функции имеет следующий вид

$$|\Phi\rangle = \sum_{k=1}^{N_b} C_k |\Psi_k\rangle + \sum C(E, \Delta) |\Psi(E, E + \Delta)\rangle$$

Предельный переход $|\Phi\rangle \xrightarrow{\Delta \rightarrow 0} \sum_{k=1}^{N_b} C_k |\Psi_k\rangle + \int_0^{\infty} C(E) |\Psi(E)\rangle dE$

Нормировка волновой функции:

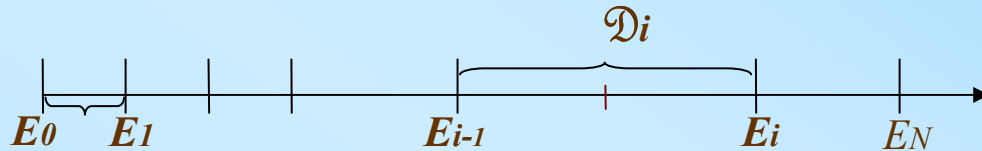
$$N = \int_E^{E+\Delta} \langle \Psi(E) | \Psi(E') \rangle dE' = \langle \Psi(E) | \Psi(E, E + \Delta) \rangle \longrightarrow \langle \Psi(E) | \Psi(E') \rangle = \delta(E - E')$$

Формализм стационарных волновых пакетов

Стационарные волновые пакеты и их свойства

Дискретизация непрерывного спектра свободного гамильтониана h_0

(в каждой парциальной волне l)



$$E_j = f(j\alpha), \quad \alpha \sim 1/N$$

$$\mathcal{D}_j \equiv [E_{j-1}, E_j] \left([q_{j-1}, q_j] \right)$$

$$q_j = \sqrt{2mE_j}, \quad d_j = q_j - q_{j-1}$$

Стационарный ВП:

$$|x_i^l\rangle = \frac{1}{\sqrt{B_i}} \int_{\mathcal{D}_i} w(q) |\psi_{0q}^l\rangle dq, \quad B_i = \int_{\mathcal{D}_i} |w(q)|^2 dq$$

Волновые пакеты образуют ортонормированный набор:

$$\langle \psi_{0q}^l | \psi_{0q'}^l \rangle = \delta(q - q') \Rightarrow \langle x_i^l | x_j^l \rangle = \delta_{ij}$$

Собственные значения гамильтониана:

$$\langle x_i | h_0 | x_j \rangle = \frac{(q_i^*)^2}{2m} \left(1 + \frac{d_i^2}{12(q_i^*)^2} \right) \delta_{ij}$$

$$q_i^* = \frac{1}{2}(q_{i-1} + q_i)$$

Свойства стационарных волновых пакетов

Перекрытие с исходной волновой функцией непрерывного спектра:

$$\langle \psi_{0q} | x_i \rangle = \frac{1}{\sqrt{B_i}} \int_{\mathcal{D}_i} \langle \psi_{0q} | \psi_{0q'} \rangle w(q') dq' = \frac{w(q)\theta(q \in \mathcal{D}_i)}{\sqrt{B_i}}$$

Рассмотрим оператор, функционально зависящий от h_0

$$R(h_0) = \int_0^\infty dq |\psi_{0q}\rangle R\left(\frac{q^2}{2m}\right) \langle \psi_{0q}| \quad \longleftarrow \text{спектральное разложение}$$

Проекция в пакетное пространство имеет диагональный вид

$$\mathbb{P} = \sum_{i=1}^N |x_i\rangle \langle x_i| \quad \mathbb{R} = \mathbb{P}R(h_0)\mathbb{P} = \sum_{i=1}^N |x_i\rangle \left[\frac{1}{B_i} \int_{\mathcal{D}_i} R\left(\frac{q^2}{2m}\right) |w(q)|^2 dq \right] \langle x_i|$$

Конечномерное представление резольвенты свободного гамильтониана

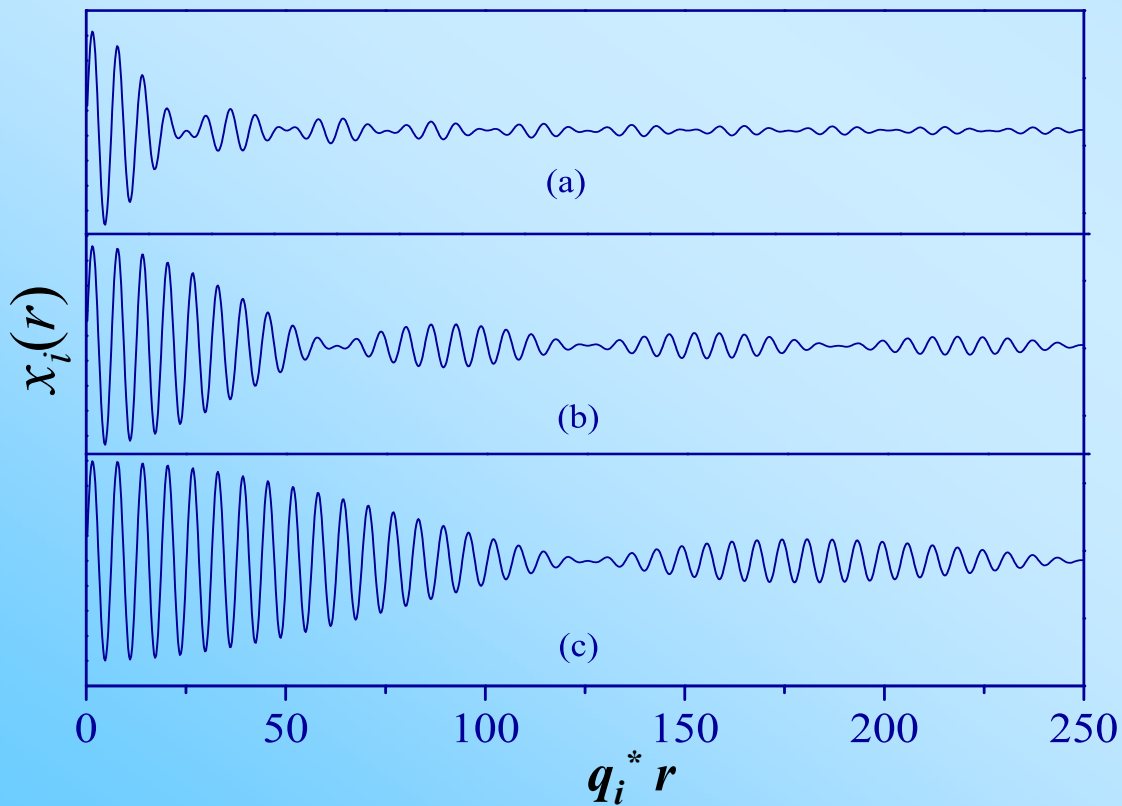
$$g_0(E) = [E + i0 - h_0]^{-1} \quad \longrightarrow \quad \mathbb{G}_0(E) = \sum_{i=1}^N |x_i\rangle g_i(E) \langle x_i|$$

$$g_i(E) = \frac{m}{qd_i} \left[\ln \left| \frac{q - q_{i-1}}{q - q_i} \right| + \ln \left| \frac{q + q_i}{q + q_{i-1}} \right| - i\pi\theta(q \in \mathcal{D}_i) \right] \quad q = \sqrt{2mE}$$

Поведение пакетных функций в координатном представлении

$$x_i(r) \approx \sqrt{d_i} \psi_{0q_i^*}(r) \frac{\sin(d_i r / 2)}{d_i r / 2}$$

Координатные зависимости волновых пакетов для разных соотношений между ширинами d_i и средними импульсами q_i^*



$$\frac{d_i}{q_i^*} = \begin{cases} 0.25 & \text{(a);} \\ 0.1 & \text{(b);} \\ 0.05 & \text{(c).} \end{cases}$$

Чем меньше ширина пакетного состояния, тем медленнее убывает его волновая функция.

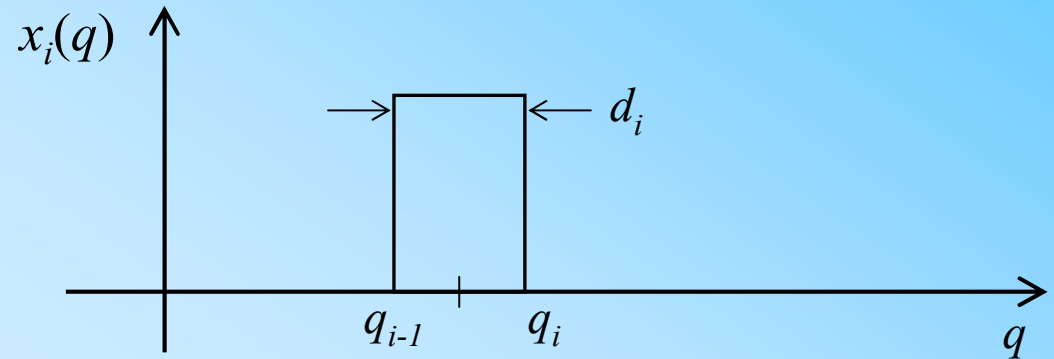
Характерный радиус, на котором пакетная функция совпадает с точной функцией непрерывного спектра (с точностью до множителя $\sqrt{d_i}$), равен

$$r_i = \frac{2}{d_i}$$

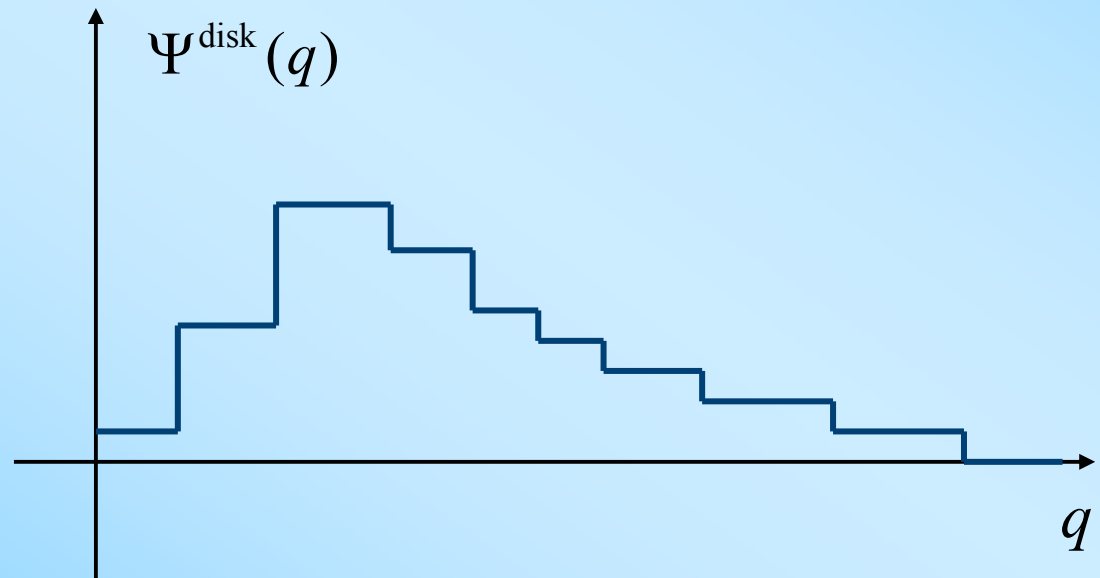
Импульсное представление

$$\langle \psi_{0q} | x_i \rangle = \frac{\theta(q \in \mathcal{D}_i)}{\sqrt{d_i}}$$

x_i — аналог прямоугольного импульса



$$|\Psi^{\text{disk}}\rangle \equiv \mathbb{P}|\Psi\rangle = \sum_{i=1}^N C_i |x_i\rangle$$



Дополнительное усреднение по энергии

Собственные значения резольвенты $G_0(E)$, имеют особенности в граничных точках интервалов при вещественных значениях энергии E . Чтобы сгладить эти особенности, сделаем дополнительное усреднение по энергии.

$$G_0(E) \rightarrow G_0^k \equiv \frac{1}{D_k} \int_{\mathcal{D}_k} G_0(E) dE, \quad E \in \mathcal{D}_k \quad D_k = E_k - E_{k-1}$$

Процедура дискретизации состоит из следующих шагов:

1. Разбиение спектра на интервалы.
2. Проектирование операторов и волновых функций в пакетный базис.
3. Дополнительное усреднение по энергии для резольвенты.

Уравнение Липпмана-Швингера для оператора перехода

$$t(E) = v + v g_0(E) t(E)$$

В импульсном представлении имеет вид:

$$t(E; q, q') = v(q, q') + 4\pi \int dq'' \frac{v(q, q'') t(q'', q')}{E + i0 - (q'')^2 / 2m}$$

После проектирования в пакетное представление получается чисто матричное уравнение:

$$\mathbf{t}^k = \mathbf{v} + \mathbf{v} \mathbf{g}_0^k \mathbf{t}^k, \quad E \in \mathcal{D}_k$$

$$\mathbf{v}_{ij} \equiv \langle x_i | v | x_j \rangle \quad \leftarrow \text{матрица потенциала взаимодействия в пакетном базисе}$$

Элемент t-матрицы вне массовой поверхности: $t(E; q, q') \sim \mathbf{t}_{ij}^k$

Парциальный фазовый сдвиг находится из on-shell элемента

$$\frac{e^{i\delta_l(E)} \sin \delta_l(E)}{\pi} \approx \frac{\mathbf{t}_{kk}^k}{D_k}, \quad E \in \mathcal{D}_k, \quad D_k = E_k - E_{k-1}$$

Дискретное представление объектов теории рассеяния

В пакетном подпространстве операторы имеют конечномерное матричное представление.

Исходное непрерывное по представлению:

Дискретное пакетное представление:

$$g_0(E; p, p')$$

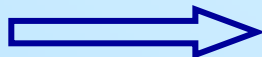
свободная резольвента:



$$[\mathbf{g}_0]_k^i \delta_{k,k'}$$

$$g(E; p, p')$$

полная резольвента:



$$\mathbf{g}_{k,k'}^i$$

$$t(E; p, p')$$

t-матрица:



$$\mathbf{t}_{k,k'}^i$$

$$\delta_L(E)$$

парциальный фазовый сдвиг:



$$\delta_L^i$$

$$\left\{ \begin{array}{l} E \in \mathcal{D}_i \\ p \in \mathcal{D}_k \\ p' \in \mathcal{D}_{k'} \end{array} \right.$$

Рассеяние нейтронов на ядре ^{56}Fe

Нелокальный комплексный потенциал

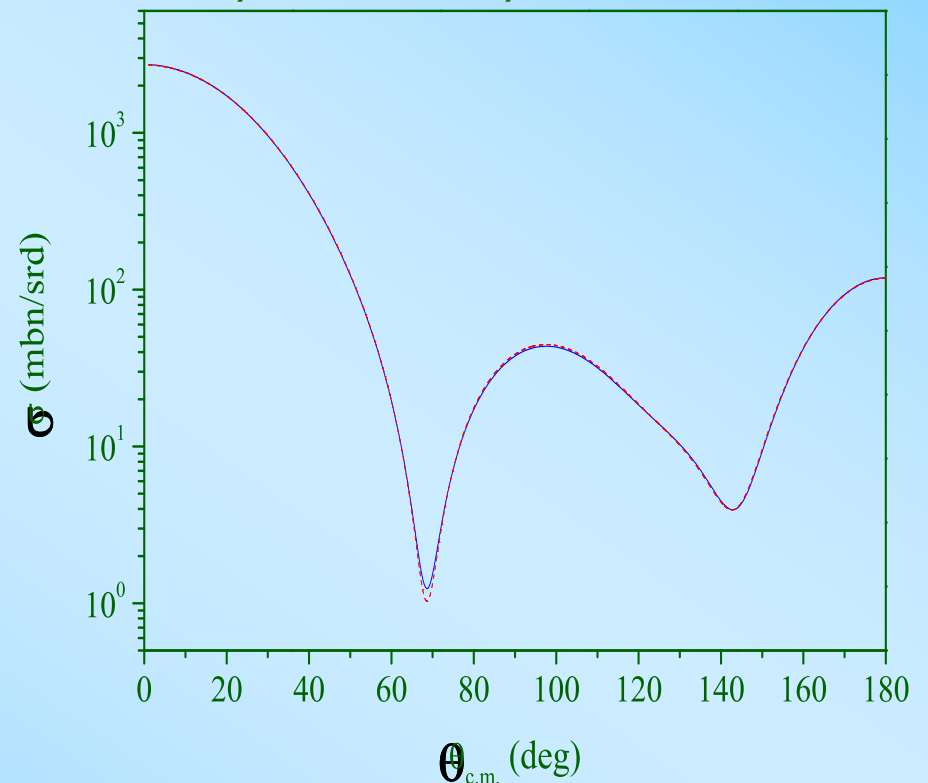
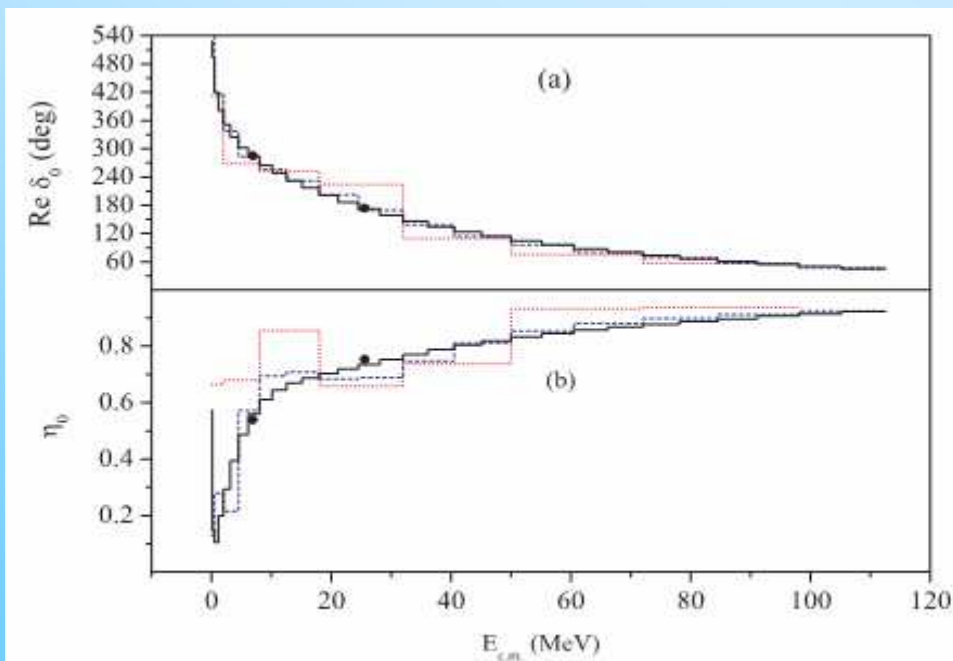
$$V(x) = \frac{V_0}{e^{\frac{x-R}{a_r}} + 1} + i \frac{4V_d \cdot e^{\frac{x-R}{a_d}}}{[e^{\frac{x-R}{a_d}} + 1]^2}, \quad R = r_0 A^{\frac{1}{3}}$$

$$U(\mathbf{r}, \mathbf{r}') = V\left(\frac{1}{2}|\mathbf{r} + \mathbf{r}'|\right) \cdot W(|\mathbf{r} - \mathbf{r}'|),$$

$$W(|\mathbf{r} - \mathbf{r}'|) = \frac{\exp[-(|\mathbf{r} - \mathbf{r}'|/\beta)^2]}{\pi^{3/2} \beta^3},$$

S-волновые фазовые сдвиги
и параметры неупругости

Дифференциальное
Сечение рассеяния при $E_n=7$ MeV



● результаты для локальных фазово-эквивалентных потенциалов при $E_n=7$ и 26 МэВ

Связь между стационарными волновыми пакетами и псевдосостояниями

Псевдосостояния как аппроксимации для СВП

Псевдосостояния в некотором базисе

$$|\bar{z}_k\rangle = \sum_{i=1}^N C_{ki} |\phi_i\rangle$$

Свойства:

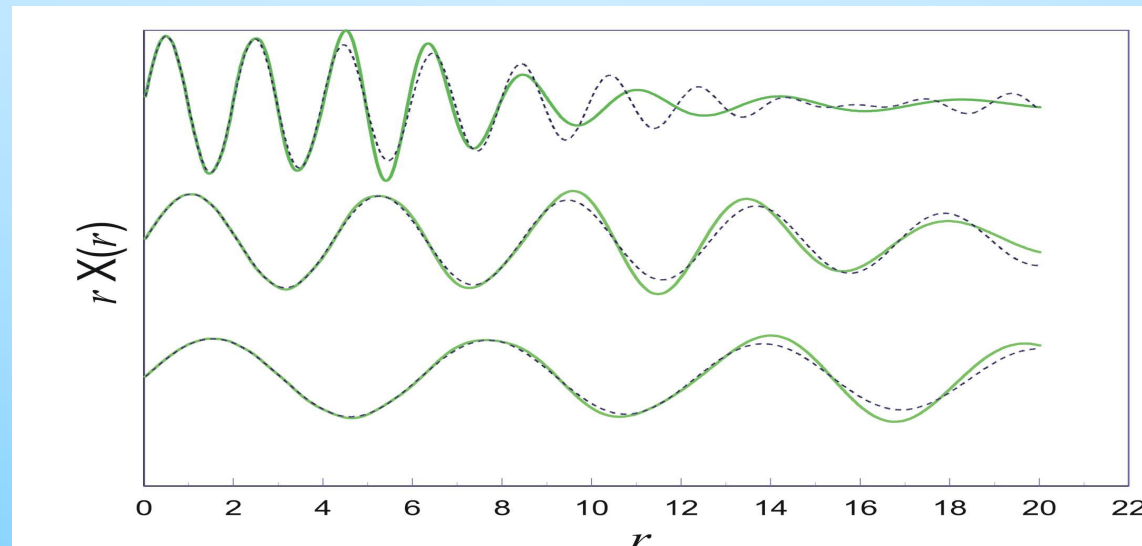
$$\langle \bar{z}_k | \bar{z}_{k'} \rangle, \quad \langle \bar{z}_k | h | \bar{z}_{k'} \rangle = E_k^* \delta_{kk'}$$

Стационарные волновые пакеты

$$|z_k\rangle = \frac{1}{\sqrt{d_k}} \int_{\mathcal{D}_k} |\psi_q\rangle dq$$

Свойства:

$$\langle z_k | z_{k'} \rangle, \quad \langle z_k | h | z_{k'} \rangle = E_k^* \delta_{kk'}$$



Псевдосостояния следует рассматривать как аппроксимации именно стационарных волновых пакетов, а не точных функций рассеяния.

Построение базиса для двухчастичного гамильтониана \hat{h}

Базис свободных волновых пакетов можно использовать для построения базиса возмущенных волновых пакетов

$$|z_i\rangle = \frac{1}{\sqrt{d_i}} \int dq |\psi_q\rangle$$

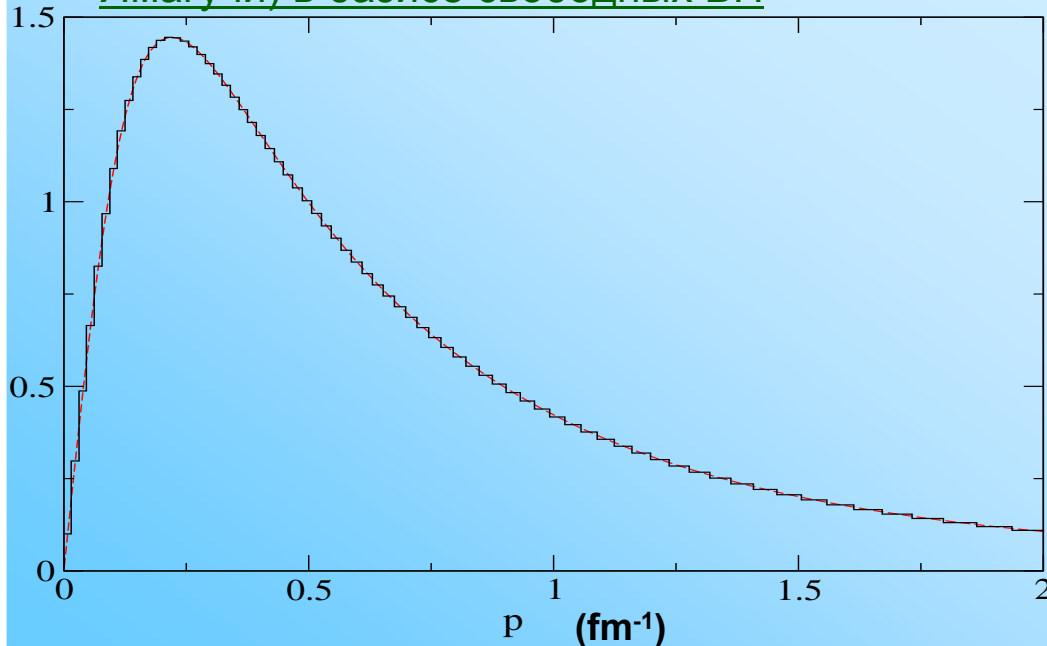
отвечающих полному гамильтониану

$$\hat{h} = \hat{h}_0 + v$$

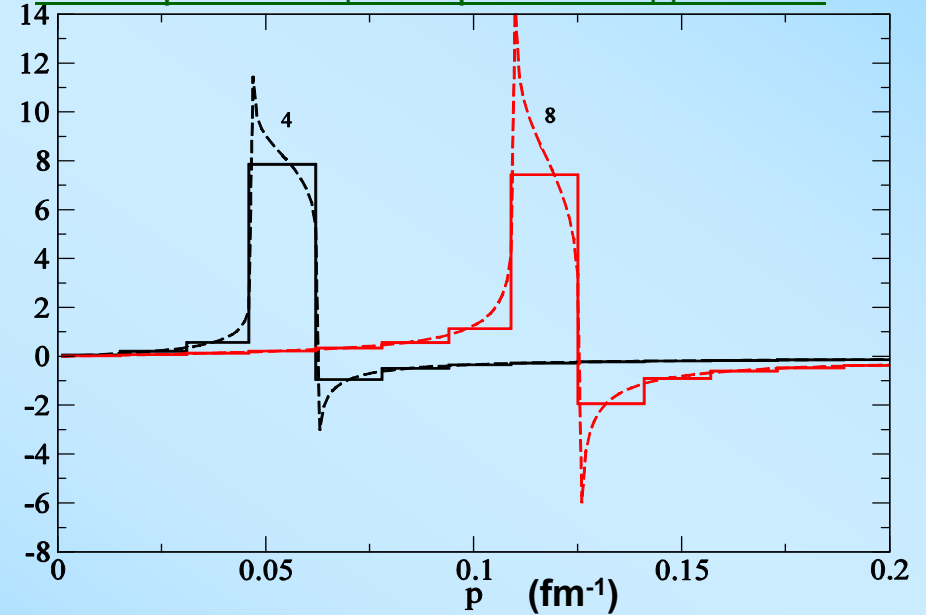
Процедура диагонализации:

$$\det \|h_{ii} - E\| = 0 \Rightarrow \{\varepsilon_j\}_{j=0}^N, |z_0\rangle, \{|z_j\rangle\}$$

Волновая функция дейтрона (потенциал Ямагучи) в базисе свободных ВП



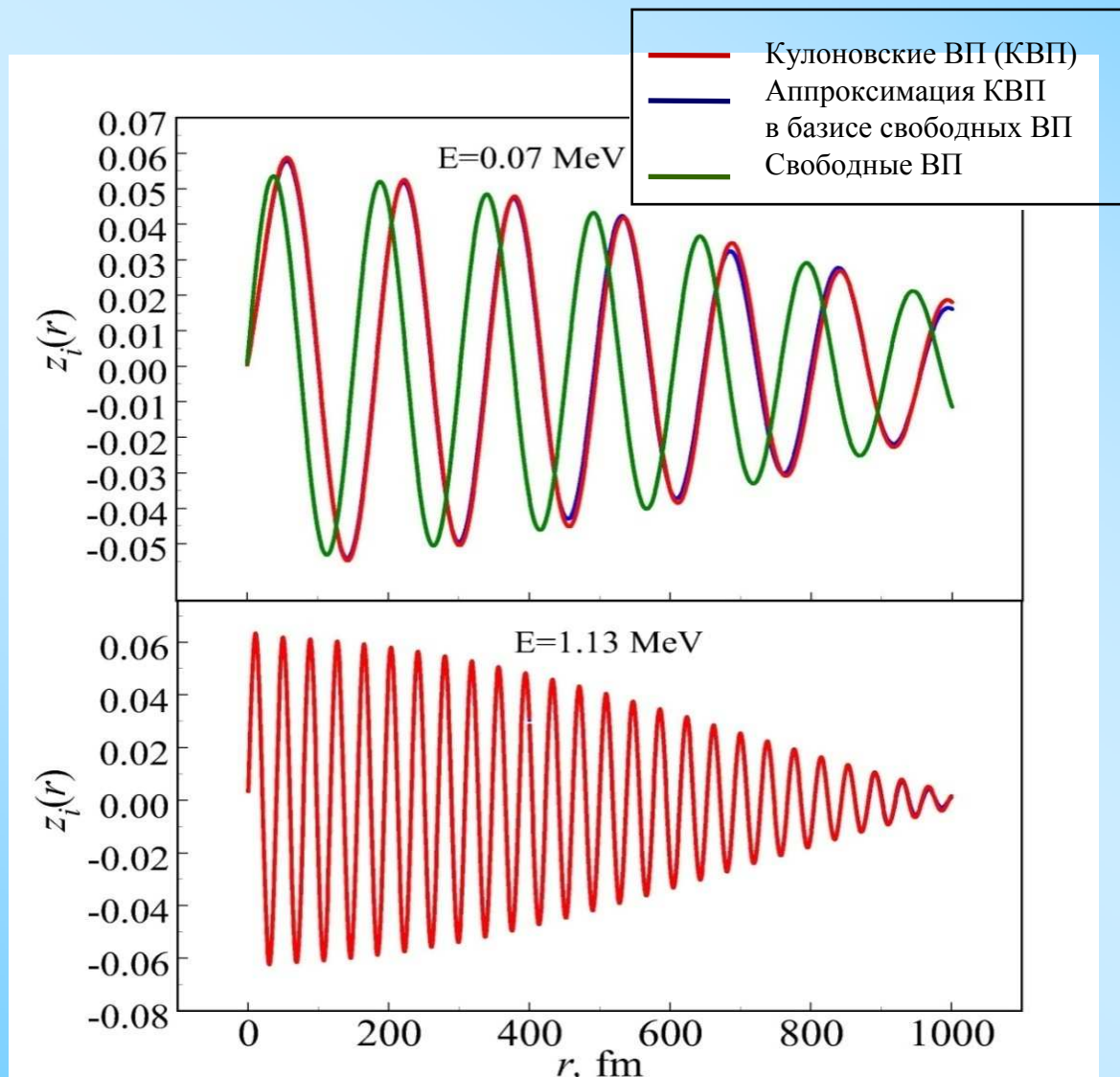
Точные возмущенные ВП и их аппроксимации через свободные ВП



Представление кулоновских ВП в базисе свободных ВП

Из-за бесконечного радиуса действия кулоновских сил, точные кулоновские функции **нельзя** разложить по собственным функциям оператора кинетической энергии

Однако, кулоновские стационарные волновые пакеты можно разложить по конечному набору свободных.



Рассеяние заряженных частиц

Полный гамильтониан в случае заряженных частиц имеет вид

$$h = \underbrace{h_0 + v_C + v_S}_{h_C} \quad v_C(r) = Z_1 Z_2 e^2 / r, \quad v_S(r) - \text{короткодействующий потенциал}$$

В качестве «свободного» используется гамильтониан h_C . Базисные функции строятся из регулярных кулоновских функций (собственных функций гамильтониана).

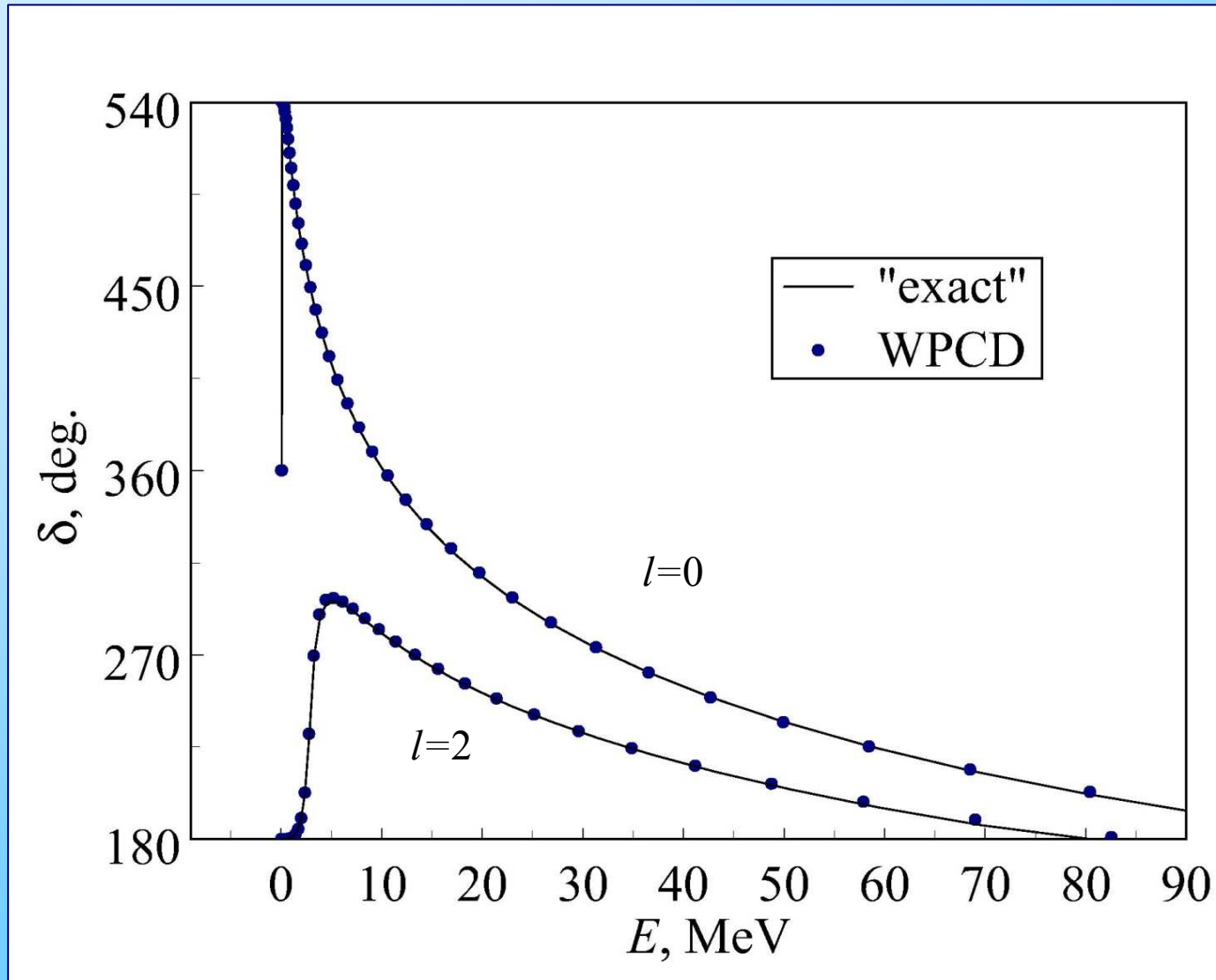
$$|x_i^C\rangle = \frac{1}{\sqrt{d_i}} \int_{\mathcal{D}_i} |F_l(q)\rangle dq$$

← кулоновские волновые пакеты (КВП)

Уравнение для кулоновско-ядерной части оператора перехода

$$T_k^{\text{add}} = V_S + V_S G_k^C T_k^{\text{add}}, \quad G_k^C = \underbrace{\sum_{i=1}^N |x_i^C\rangle g_i^k \langle x_i^C|}_{\text{конечномерное представление кулоновской резольвенты}}, \quad V_S = \underbrace{\sum_{i,j=1}^N |x_i^C\rangle \langle x_i^C| V_S |x_j^C\rangle \langle x_j^C|}_{\text{конечномерное представление оператора взаимодействия}}.$$

Парциальные фазовые сдвиги α - α рассеяния



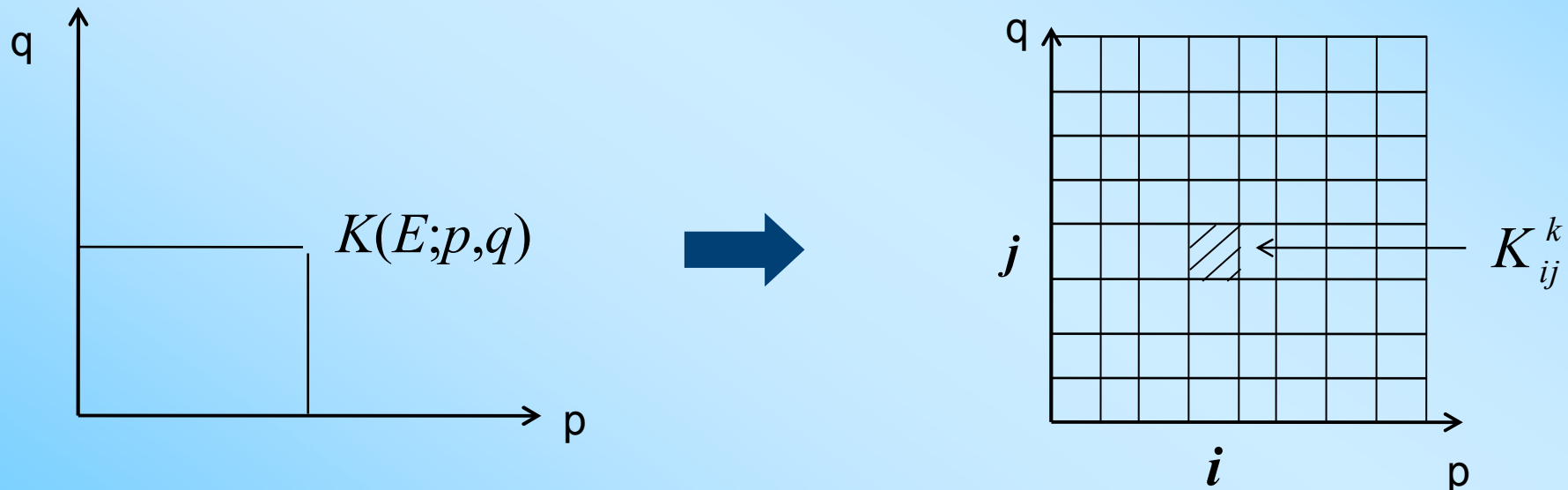
Малочастичные системы

Решеточный базис для системы нескольких частиц

Трех- (и более-) частичный гамильтониан является прямой суммой двухчастичных субгамильтонианов. Поэтому его волновые функции представляются в виде прямого произведения двухчастичных.

$$H_0 = h_p^0 \oplus h_q^0 \Rightarrow |X_{ij}\rangle \equiv |x_i\rangle \otimes |y_j\rangle$$

Решение задачи рассеяния в пакетном базисе соответствует ее формулировке на конечной многомерной решетке в импульсном пространстве. Поэтому многочастичный базис свободных волновых пакетов называется **решеточным**.



В пакетной схеме вместо непрерывных интегральных ядер $K(E;p,q)$ используются дискретные матричные функции K_{ij}^k , при этом энергетические и импульсные особенности сглаживаются за счет усреднения по ячейкам решетки.

Собственные пакетные представления для гамильтонианов каналов

Полный гамильтониан трехчастичной задачи

$$H = H_0 + \sum_{a=1}^3 v_a, \quad v_a \equiv v_{bc}$$

Гамильтонианы парных подсистем (канальные)

$$H_a = H_0 + v_a = h_0^a \oplus h_a$$

Собственные пакетные базисы канальных гамильтонианов определяются через пакетные базисы для двухчастичных субгамильтонианов h_a и h_0^a

$$\left| Z_{ij}^{(a)} \right\rangle \equiv \left| z_i^{(a)} \right\rangle \otimes \left| y_j^{(a)} \right\rangle \quad (\text{свободный базис} \quad \left| X_{ij}^{(a)} \right\rangle = \left| x_i^{(a)} \right\rangle \otimes \left| y_j^{(a)} \right\rangle)$$

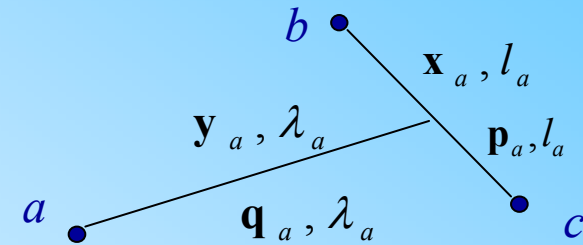
Свойства такого трехчастичного базиса аналогичны свойствам двухчастичных. В частности, можно получить явное выражение для резольвенты

$$G_a = [E + i0 - H_a]^{-1}, \quad \mathbf{G}_a^{(+)}(E) = \sum [G_a]_{ij} \left| Z_{ij}^{(a)} \right\rangle \left\langle Z_{ij}^{(a)} \right|$$

Если разложить двухчастичные ВП по свободным

$$\left| z_i^{(a)} \right\rangle = \sum_{i'} C_{ii'}^{(a)} \left| x_{i'}^{(a)} \right\rangle$$

$$\left| Z_{ij}^{(a)} \right\rangle = \sum C_{ii'}^{(a)} \left| X_{i'j}^{(a)} \right\rangle$$



Finite-dimensional approximation for the channel resolvent

The channel resolvent $G_a = [E + i0 - H_a]^{-1}$:

$$G_a^{(+)}(E) = \frac{1}{2\pi i} \int_{-\infty}^{+\infty} d\epsilon g_a^{(+)}(E - \epsilon) g_0^{(+)}(\epsilon).$$

Using the spectral expansions for g_a and g_0 operators,
one gets $G_a = G_a^{BC} + G_a^{CC}$.

$$G_a^{BC} = \sum_{\Lambda, M} \sum_{l_a, L_a} \sum_{k=1}^{K_{l_a}} \int_0^\infty dE_2 \frac{|\hat{\psi}_k^{l_a}, \psi_{0E_2}^{L_a}, \Lambda M\rangle \langle \hat{\psi}_k^{l_a}, \psi_{0E_2}^{L_a}, \Lambda M|}{E + i0 - \epsilon_k^{l_a} - E_2}$$

$$G_a^{CC} = \sum_{\Lambda, M} \sum_{l_a, L_a} \int_0^\infty dE_1 \int_0^\infty dE_2 \frac{|\psi_{E_1}^{l_a}, \psi_{0E_2}^{L_a}, \Lambda M\rangle \langle \psi_{E_1}^{l_a}, \psi_{0E_2}^{L_a}, \Lambda M|}{E + i0 - E_1 - E_2}$$



The WP projections have diagonal forms.

The bound-continuum part:

$$\mathbb{G}_a^{BC} = \sum_{l_a, L_a} \sum_{k, j} |Z_k^{l_a}, X_j^{L_a}, \Lambda M\rangle \langle Z_k^{l_a}, X_j^{L_a}, \Lambda M| [G_a(E)]_{S_a}$$

with eigenvalues

$$[G_a(E)]_{S_a} = \frac{1}{\Delta_j^{L_a}} \int_{E_{j-1}^{L_a}}^{E_j^{L_a}} \frac{dE_2}{E + i0 - \epsilon_k^{l_a} - E_2}.$$

The continuum-continuum part:

$$\mathbb{G}_a^{CC} = \sum_{l_a, L_a} \sum_{i, j} |Z_i^{l_a}, X_j^{L_a}, \Lambda M\rangle \langle Z_i^{l_a}, X_j^{L_a}, \Lambda M| [G_a(E)]_{S'_a}$$

with eigenvalues

$$[G_a(E)]_{S'_a} = \frac{1}{\Delta_i^{l_a} \Delta_j^{L_a}} \int_{E_{i-1}^{l_a}}^{E_i^{l_a}} \int_{E_{j-1}^{L_a}}^{E_j^{L_a}} \frac{dE_1 dE_2}{E + i0 - E_1 - E_2}.$$

Общая задача рассеяния трех тел

Разложение волновой функции на фадеевские компоненты:

$$|\Psi(E)\rangle = |\psi^{(1)}\rangle + |\psi^{(2)}\rangle + |\psi^{(3)}\rangle$$

Уравнения Фаддеева для компонент волновой функции

$$|\psi^{(a)}\rangle = |\Phi_{01}\rangle \delta_{a1} + G_a v_a \sum_{b \neq a} |\psi^{(b)}\rangle, \quad a = 1, 2, 3$$

Разложим каждую компоненту в.ф. по своему пакетному базису

$$|\bar{\psi}^{(a)}\rangle = \sum O_{ik}^{(a)} |Z_{ik}^{(a)}\rangle$$

Уравнение для проектированных компонент:

$$|\bar{\psi}^{(a)}\rangle = |Z_0^{(1)}\rangle \delta_{a1} + G_a V_a \sum_{b \neq a} |\bar{\psi}^{(b)}\rangle, \quad a = 1, 2, 3$$

$$O_{ik}^{(a)} = \delta_{a1} \delta_{ik,0} + \sum_{i'} [G_a]_{ik} [v_a]_{ii'} \sum_{b \neq a} \sum_{jn} \underbrace{\langle Z_{i'k}^{(a)} | Z_{jn}^{(b)} \rangle}_{[P_{ab}]_{i'k, jn}} O_{jn}^{(b)}$$

$$[P_{ab}]_{i'k, jn}$$

← матрица оператора
перестановки частиц

Матрица оператора перестановки в пакетном базисе

Элементы матрицы оператора перестановки в пакетном базисе вычисляются через перекрытия базисных функций

$$[P_{ab}]_{ij, i' j'} \equiv \langle Z_{ij}^{(a)} | Z_{i' j'}^{(b)} \rangle = \sum_{ii'} C_{ik}^{*(a)} C_{i' k'}^{(b)} \langle X_{kj}^{(a)} | X_{k' j'}^{(b)} \rangle =$$

$$= \sum_{ii'} C_{ik}^{*(a)} C_{i' k'}^{(b)} [P_0^{ab}]_{kj, k' j'}$$

↑
матрица перекрытия для
решеточного базиса

Матрица оператора перестановки

Матрица оператора перестановки в решеточном базисе

$$\langle X_{ij}^{(a)} | P_{ab} | X_{i'j'}^{(b)} \rangle = \langle X_{ij}^{(a)} | X_{i'j'}^{(b)} \rangle$$

Например, для системы трех тождественных частиц оператор перестановки имеет вид

$$P = P_{12}P_{23} + P_{13}P_{32}$$

$$\langle X_{ij} | P | X_{i'j'} \rangle = \int_{\mathcal{D}_{ij}} dpdq \int_{\mathcal{D}_{i'j'}} dp' dq' \frac{P(p, q, p', q')}{\sqrt{d_i d_j d_{i'} d_{j'}}$$

Здесь $P(p, q, p', q')$ — ядро оператора перестановки в импульсном представлении.

Система трех тождественных частиц (n-d рассеяние)

Уравнение АГС для оператора перехода

$$U = PG_0^{-1} + PtG_0U$$

Используем аналогичную форму этого уравнения, которую будет удобно решать в базисе канального гамильтониана

$$U = Pv_1 + Pv_1G_1U$$

Проектируя все операторы в пакетный базис получаем чисто матричное уравнение:

$$\mathbf{U} = \mathbf{P}\mathbf{V}_1 + \mathbf{P}\mathbf{V}_1\mathbf{G}_1\mathbf{U},$$

где \mathbf{P} матрица оператора перестановки, \mathbf{V}_1 матрица NN взаимодействия, \mathbf{G}_1 – матрица резольвенты канального гамильтониана.

Амплитуда упругого рассеяния находится как диагональный элемент матрицы \mathbf{U}

$$e^{2i\delta(q_0)} - 1 \approx \frac{2m}{3q_0} \frac{U_{0j_0,0j_0}}{d_{j_0}}, \quad q_0 \in \mathcal{D}_{j_0}$$

Амплитуда развала

Формула для амплитуды развала

$$T(p, q) = \langle p, q | tG_0 U | \phi_0, q_0 \rangle$$

Эта же амплитуда может быть определена как матричный элемент оператора перехода U

$$T(p, q) = \langle \phi_0, q_0 | U | \psi_p^{(+)}, q \rangle$$

←
состояние непрерывного спектра NN
гамильтониана

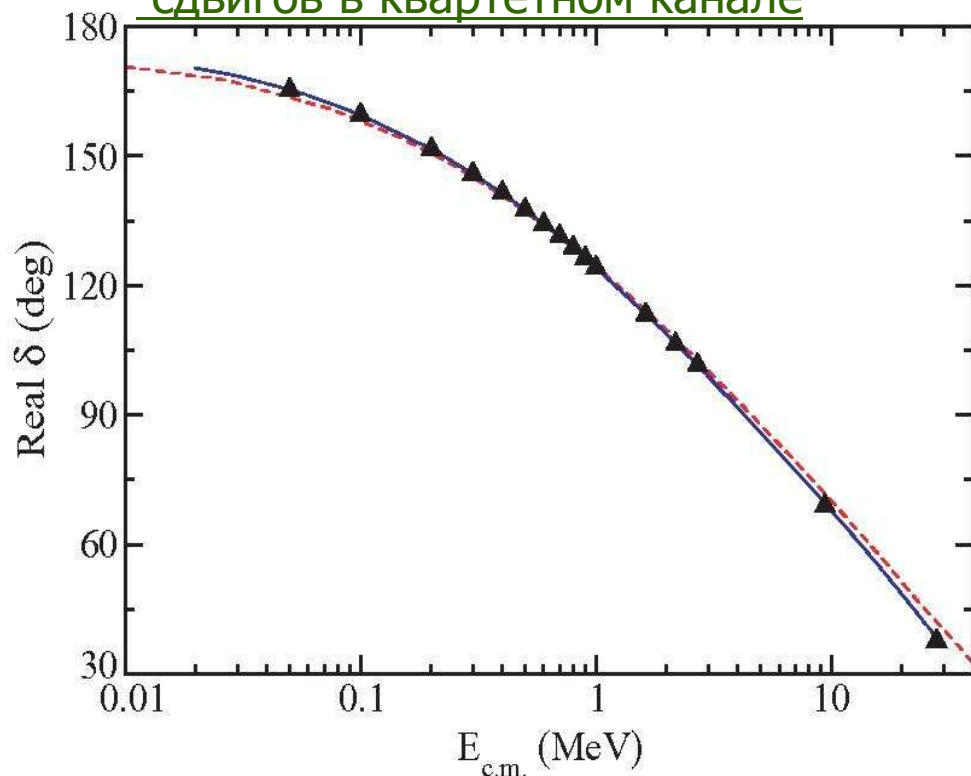
Таким образом, амплитуды упругого рассеяния и развала можно определить используя только собственный пакетный базис канального гамильтониана.

Амплитуда развала находится из недиагональных элементов матрицы U

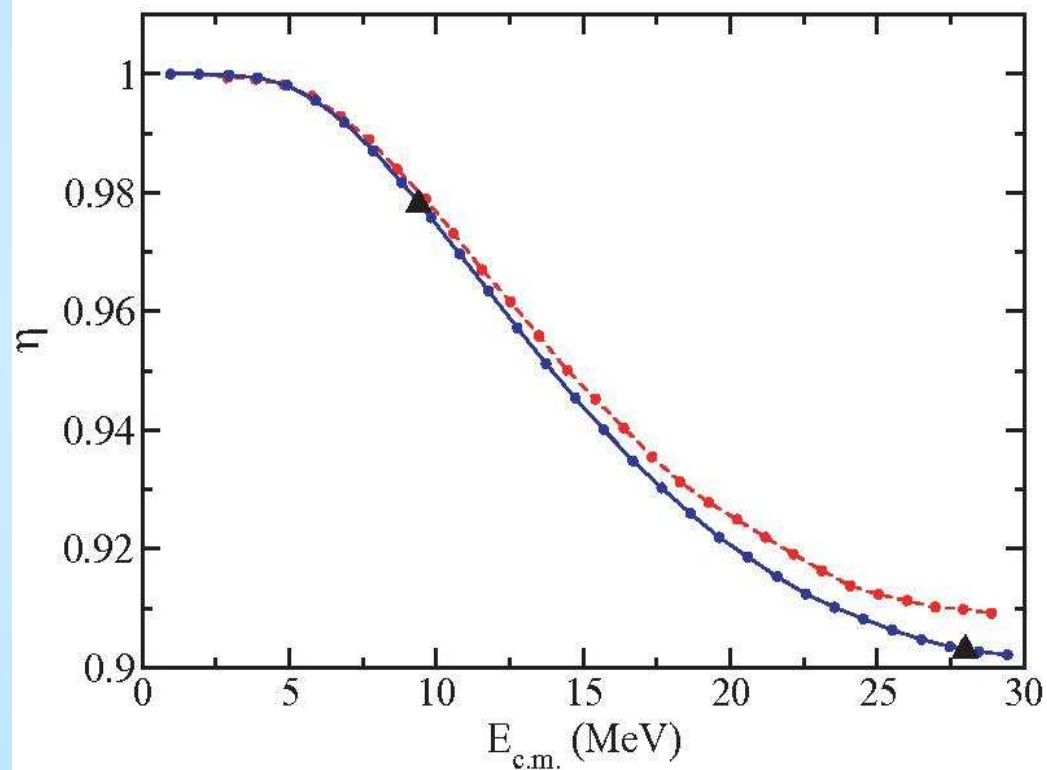
$$T(p, q) \sim e^{i\delta_{NN}(p)} \frac{U_{0j_0,ij}}{\sqrt{d_{j_0} d_i d_j}}, \quad \begin{array}{l} p \in \mathcal{D}_i \\ q \in \mathcal{D}_j \\ q_0 \in \mathcal{D}_{j_0} \end{array}$$

Упругое n-d рассеяние

Реальные части S-волновых фазовых сдвигов в квартетном канале



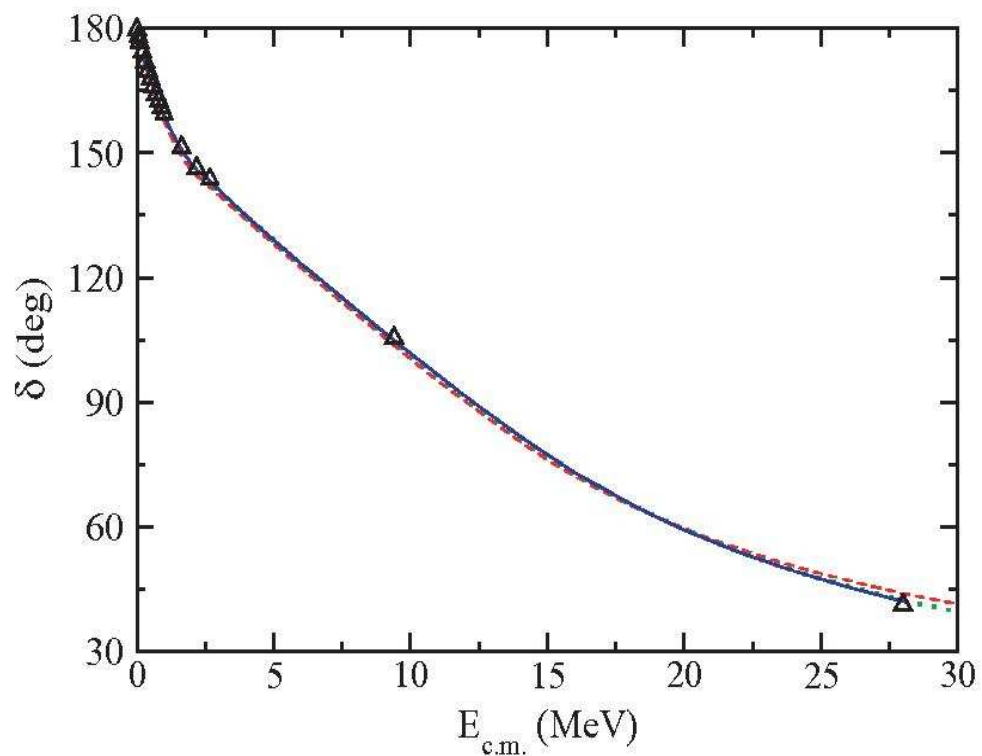
Неупругость (квартетный канал)



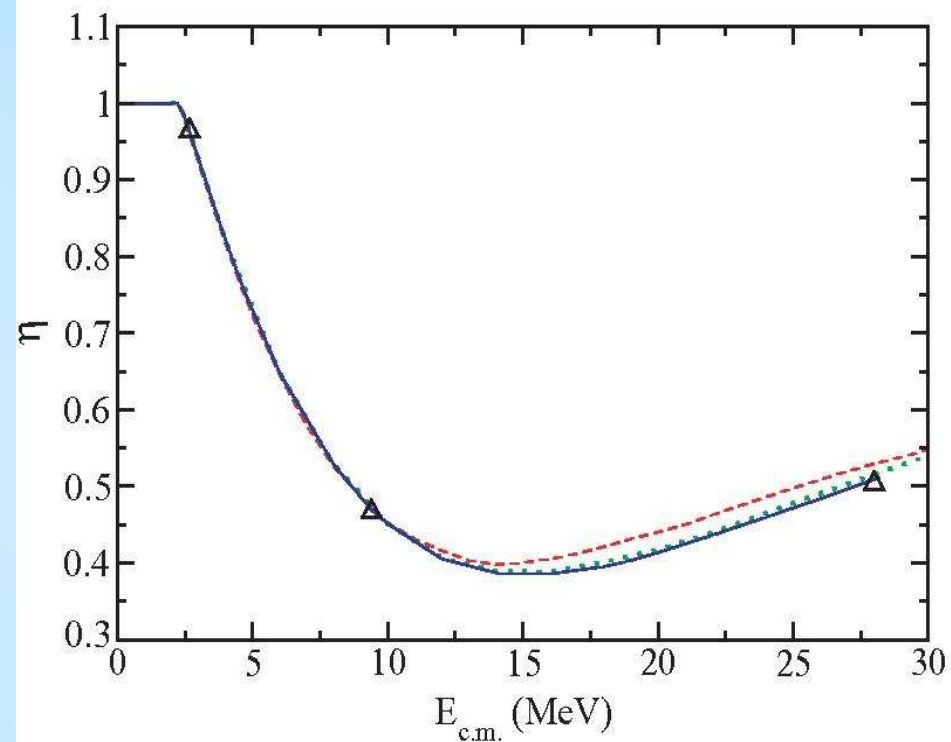
- ↔ N=100x100
- ↔ N=200x200
- ▲ стандартные фаддеевские расчеты




Расчеты для локального MT NN потенциала

Реальные части S-волновых парциальных фазовых сдвигов (дублетный канал)



Неупругость



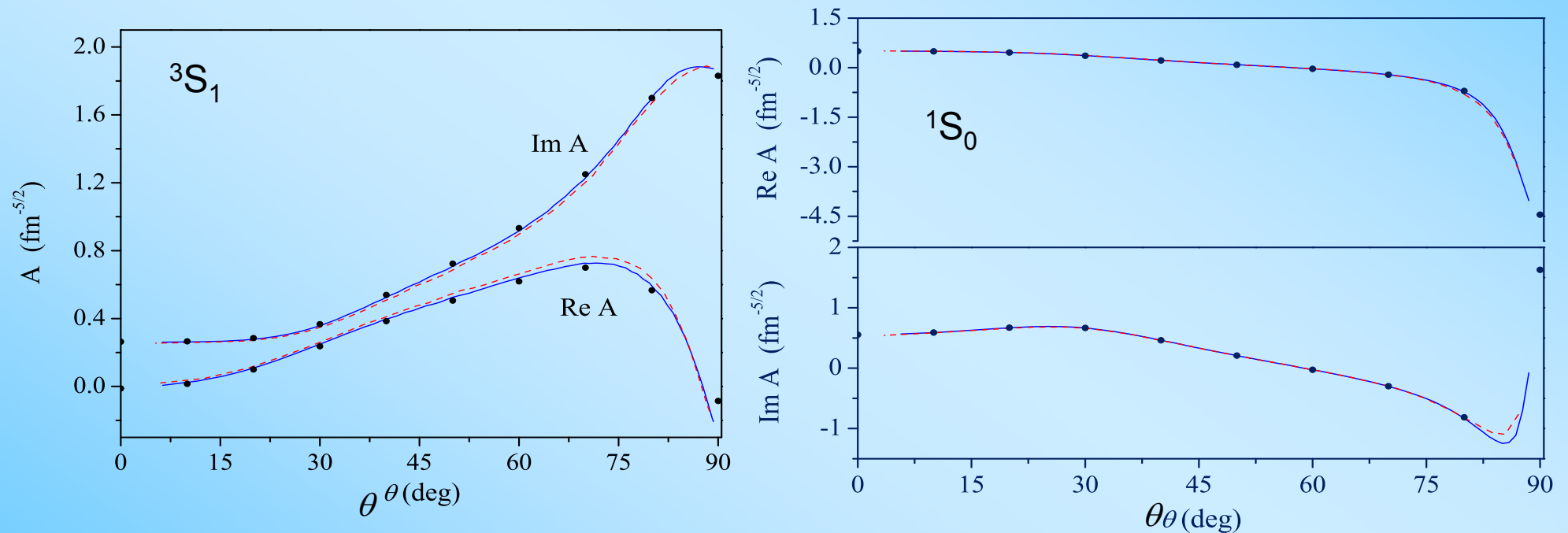
-  $N=(50+50)\times 50$
-  $N=(100+100)\times 100$
-  standard Faddeev calc.

Амплитуды $n+d \rightarrow n+n+p$ развала

Асимптотика фаддеевской компоненты волновой функции

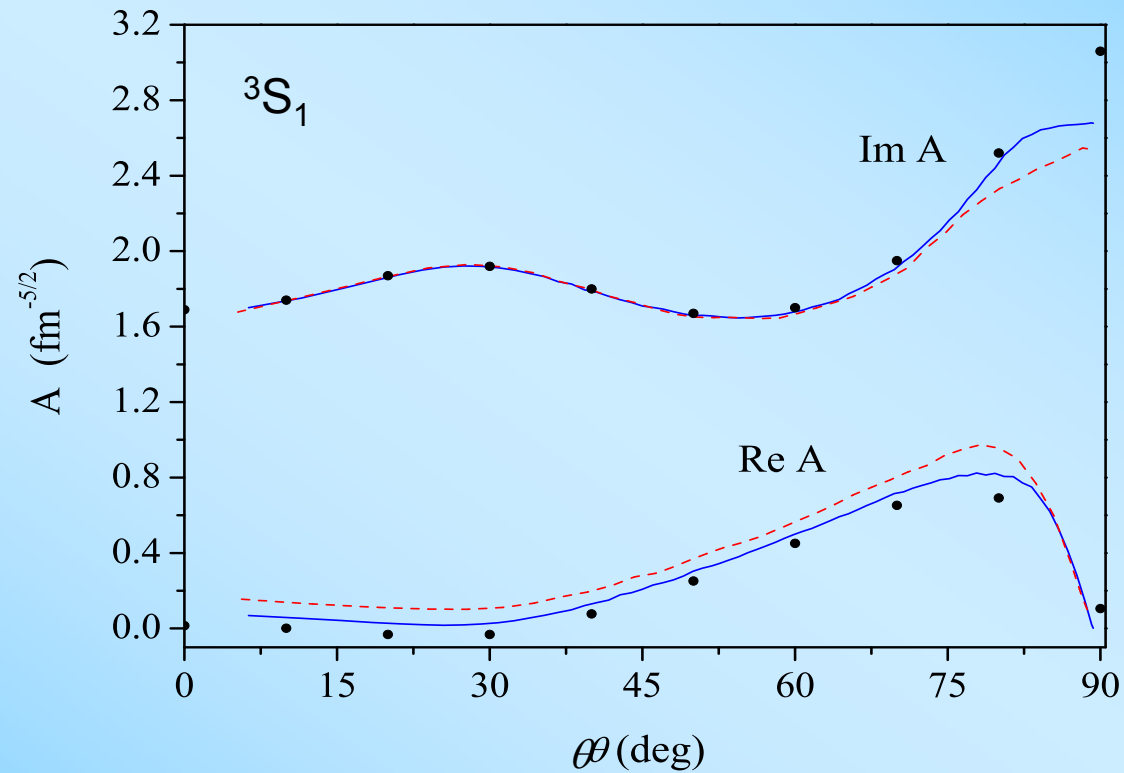
$$\psi(K, \rho) \xrightarrow{\rho \rightarrow \infty} \frac{A(\theta)}{(K\rho)^{5/2}} \quad A(\theta) \sim T(p, q), \quad \text{tg}(\theta) = \frac{\sqrt{3} q}{2 p}$$

The hyperspherical breakup amplitudes in the spin-doublet channel



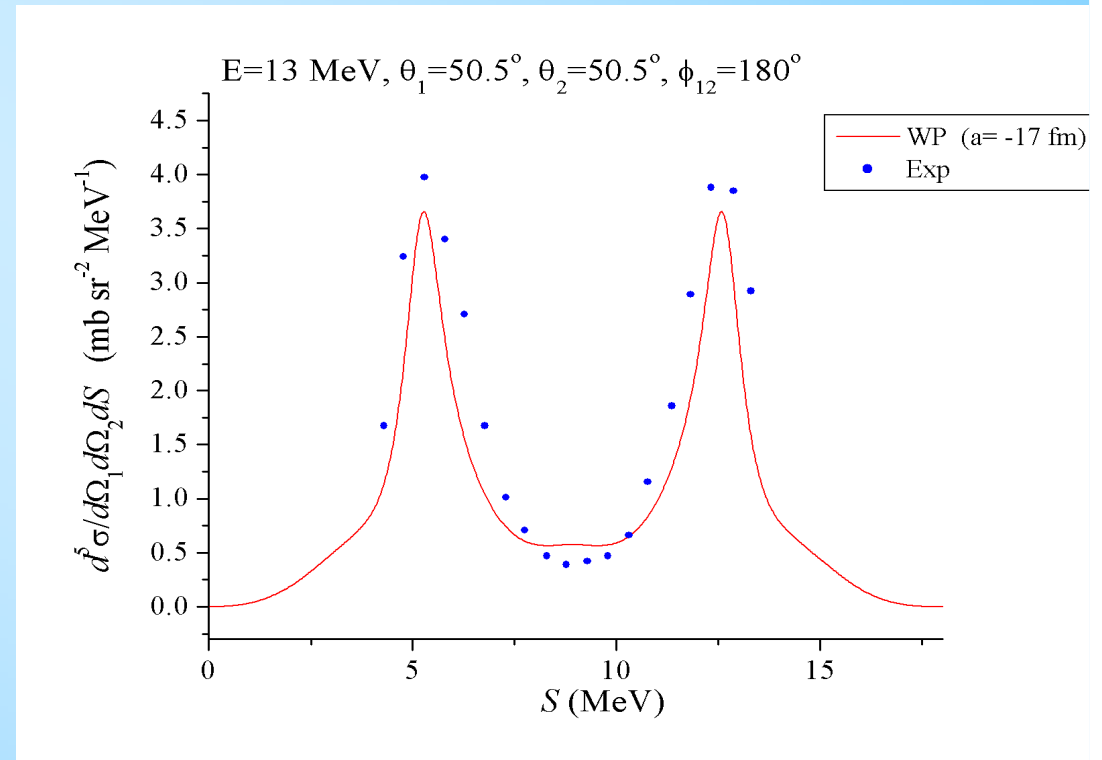
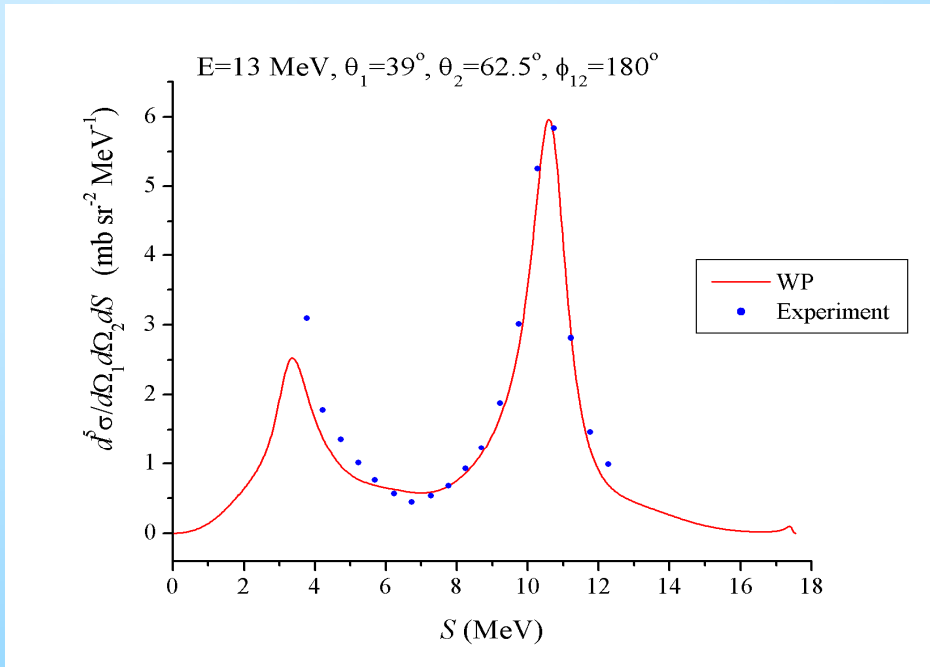
- Benchmark calculations (Friar et al., PRC 1995)
- Wave-packet $N=100 \times 100$
- Wave-packet $N=200 \times 200$

The hyperspherical breakup amplitudes in the spin-quartet channel

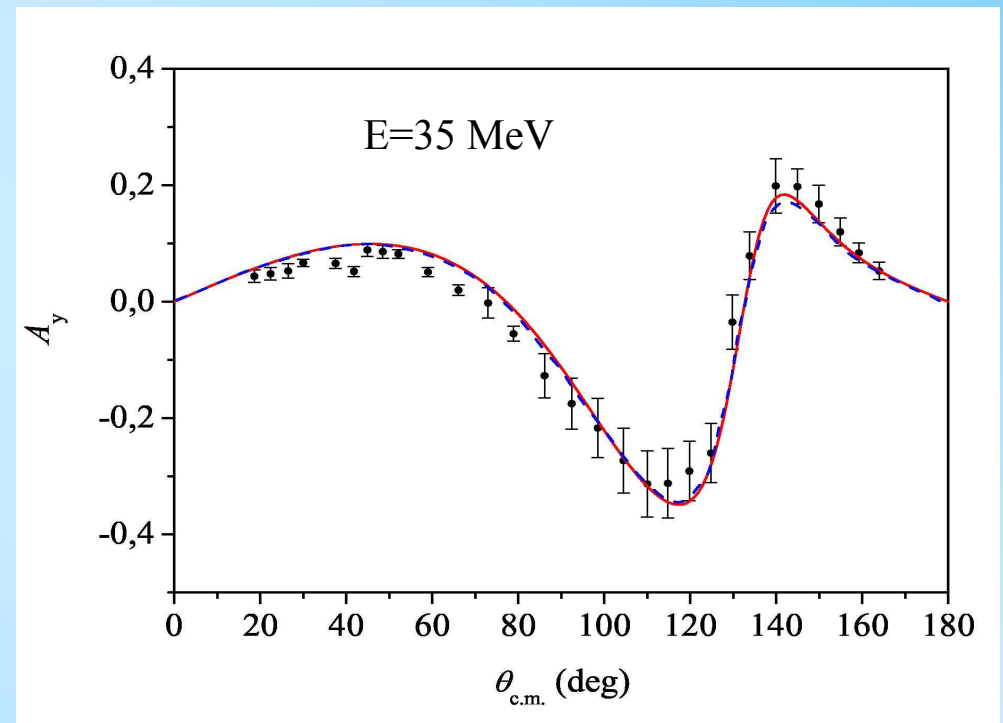
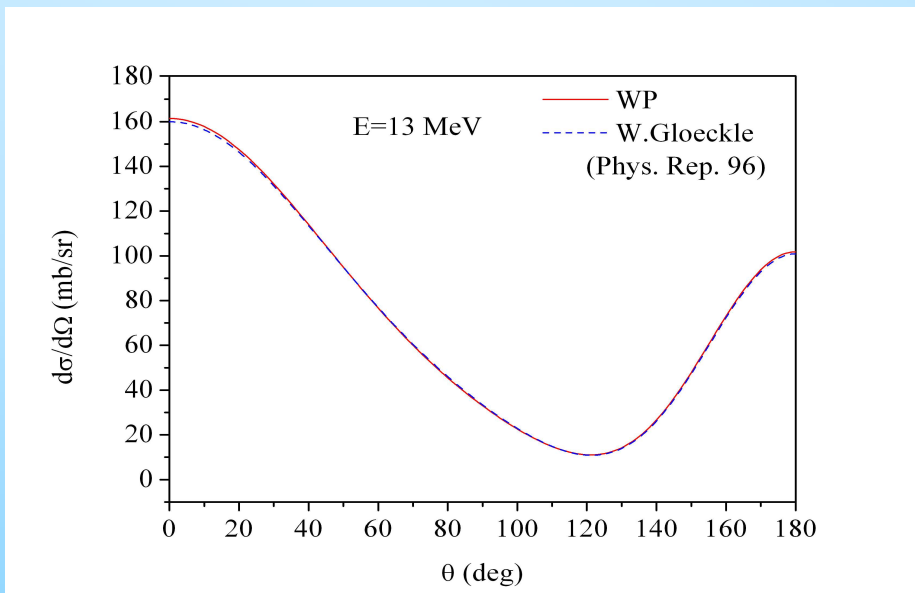


- Benchmark calculations (Friar et al., PRC 1995)
- - - Wave-packet calculation for $N=100 \times 100$
- Wave-packet calculation for $N=200 \times 200$

n-d breakup cross sections for the Yamaguchi potential



Дифференциальные сечения упругого nd рассеяния (Nijmegen I NN potential).



Построение эффективных потенциалов взаимодействия

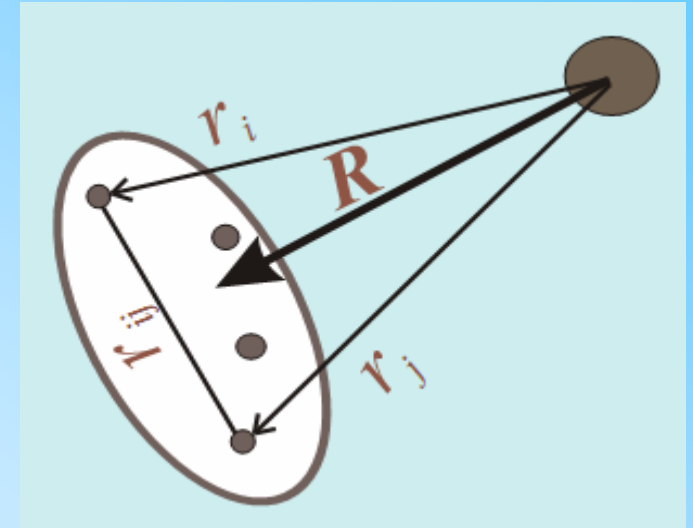
Рассеяние составной частицы на ядре

Гамильтониан системы имеет вид:

$$H = h_{\text{int}} + h_C(\mathbf{R}) + V_{\text{ext}}, \quad h_{\text{int}} = h_0 + \sum_{i < j} v_{ij}(r_{ij}),$$

$$V_{\text{ext}} = \sum_i v_{iA}(r_i)$$

Канальный гамильтониан $H_{ch} = h_{\text{int}} \oplus h_C(\mathbf{R})$



Пакетный базис строится из пакетных состояний для субгамильтонианов h_{int} и h_C

$$|Z_{p,k}\rangle = |z_p, x_k^C\rangle = |z_p\rangle \otimes |x_k^C\rangle$$

В таком базисе получается аналитическая аппроксимация для канальной резольвенты

$$G_{ch} \approx \sum_{p,k} G_{pk}(E) |Z_{pk}\rangle \langle Z_{pk}|$$

Амплитуда упругого рассеяния находится из матричного аналога уравнения Липпмана-Швингера

$$T = V_{\text{ext}} + V_{\text{ext}} G_{ch} T$$

Построение эффективных потенциалов взаимодействия составных частиц

Рассмотрим упругое рассеяние составной частицы в связанном состоянии

$$h_{\text{int}} |\phi_0\rangle = \varepsilon_0 |\phi_0\rangle$$

$P = |\phi_0\rangle\langle\phi_0|$, $Q = 1 - P$ проекторы на упругий и неупругий каналы

$P|\Psi\rangle$ волновая функция упругого рассеяния

Проекционный формализм Фешбаха

$$H|\Psi\rangle = E|\Psi\rangle, \quad |\Psi\rangle = P|\Psi\rangle + Q|\Psi\rangle$$

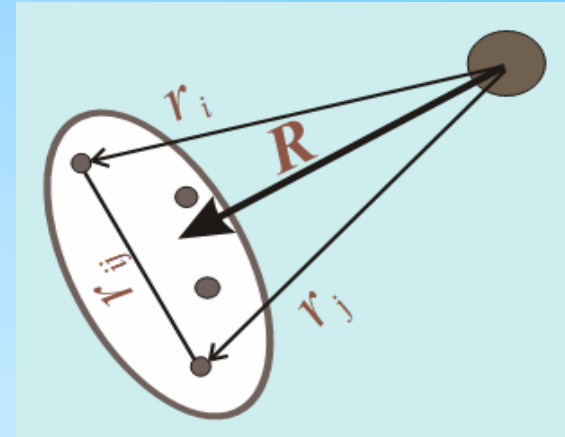
Уравнение для упругой компоненты в.ф.

$$(PHP - E)P|\Psi\rangle = -\underbrace{PV_{\text{ext}}QG_QQV_{\text{ext}}P}_{\text{эффективный оператор взаимодействия}}|\Psi\rangle$$

Резольвента в ортогональном подпространстве

$$G_Q(E) = [E + i0 - QHQ]^{-1}$$

Проблема нахождения этого оператора еще более сложная, чем решение исходной задачи с гамильтонианом H . Однако в пакетной технике этот оператор легко находится в матричном виде.

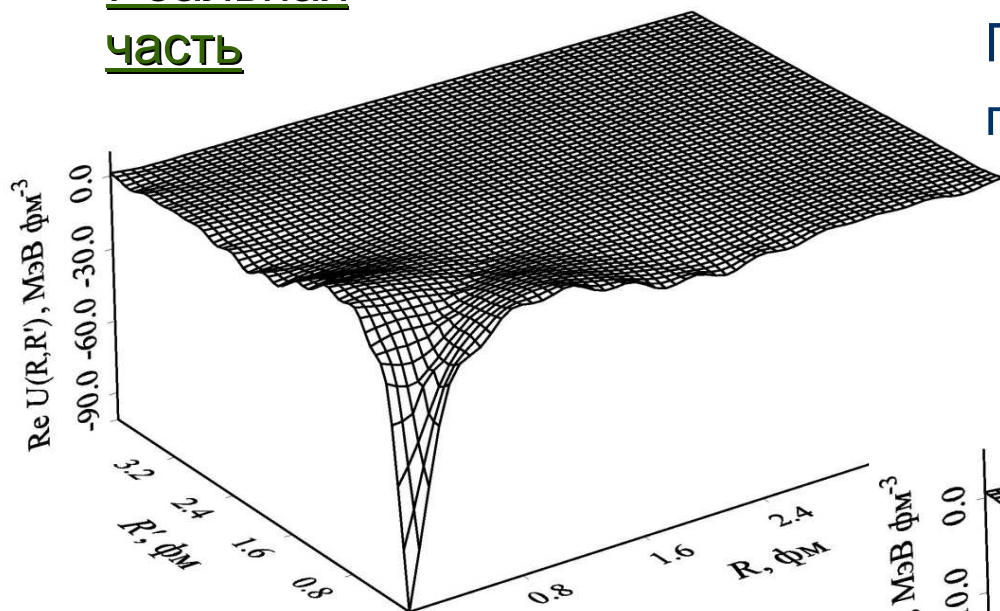


эффективный оператор взаимодействия

Таким образом, полученный в пакетном представлении оператор эффективного взаимодействия составной частицы с мишенью имеет вид:

$$U(E, \mathbf{R}, \mathbf{R}') = \sum_{ki, k'i'} \left[G_Q \right]_{ki, k'i'} B_{ki}(\mathbf{R}) B_{k'i'}^*(\mathbf{R}'), \quad B_{ki}(\mathbf{R}) = \langle \phi_0 | V_{\text{ext}} | Z_{ki} \rangle$$

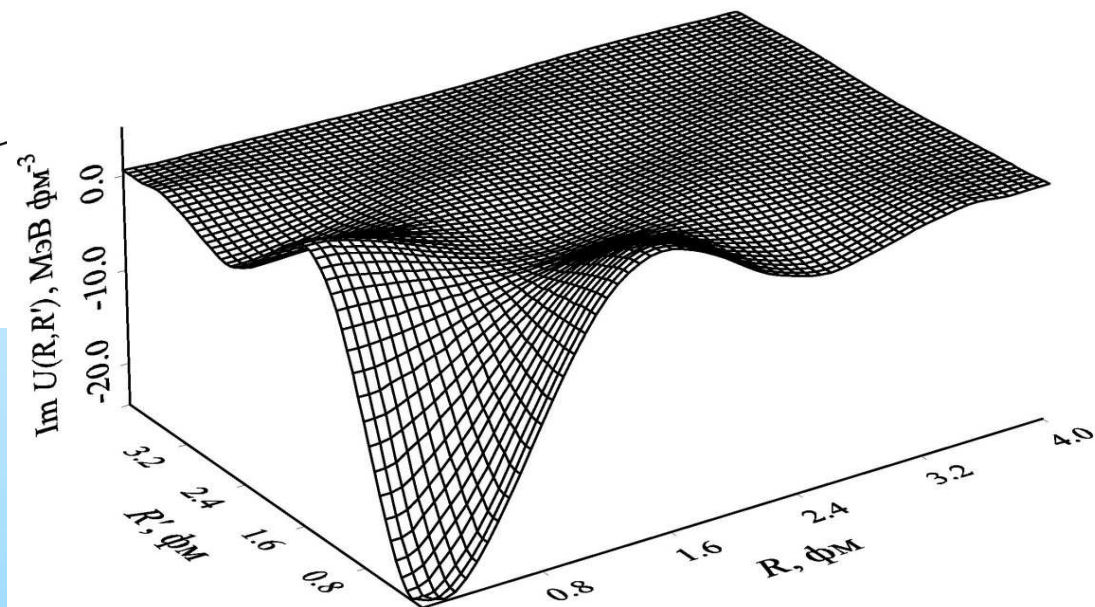
Реальная часть



Потенциал Фешбаха для d+Ni задачи при энергии дейтронов $E_d=80$ MeV

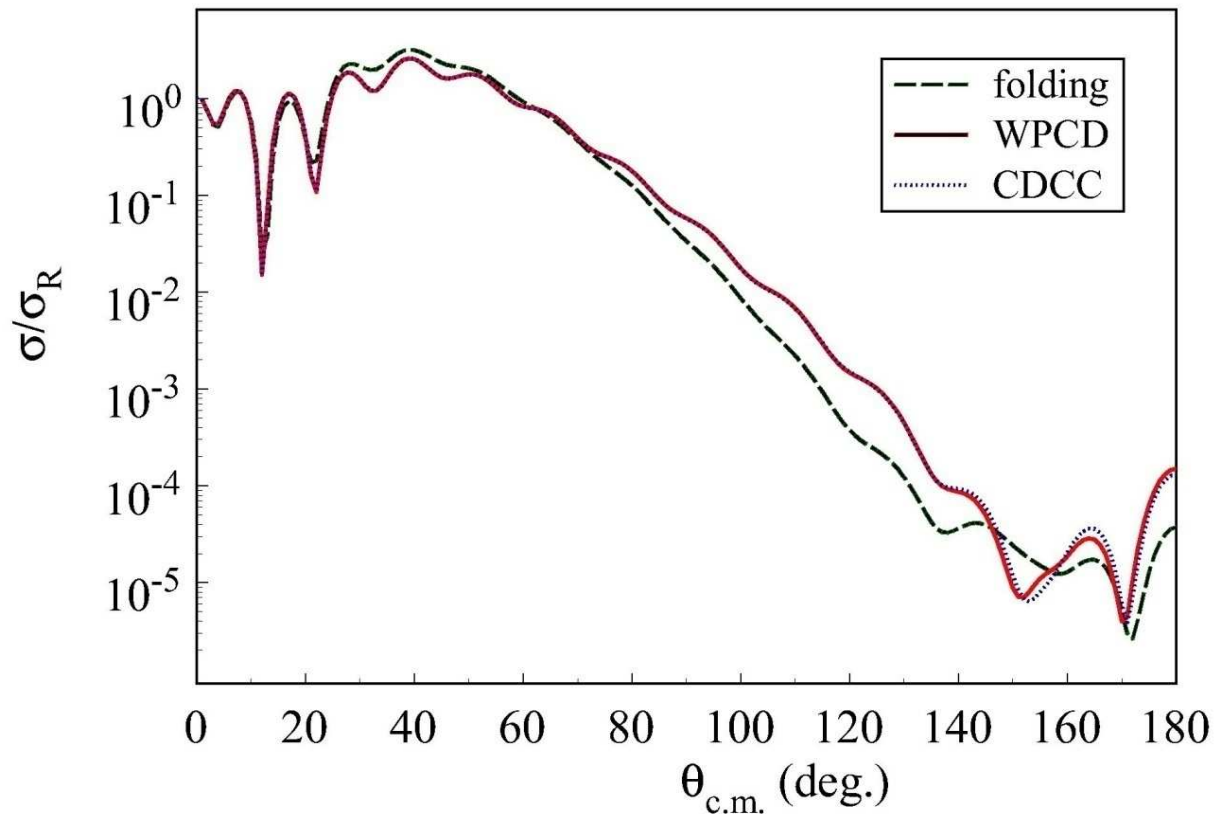
$\Lambda=0$

Мнимая часть



Потенциал Фешбаха

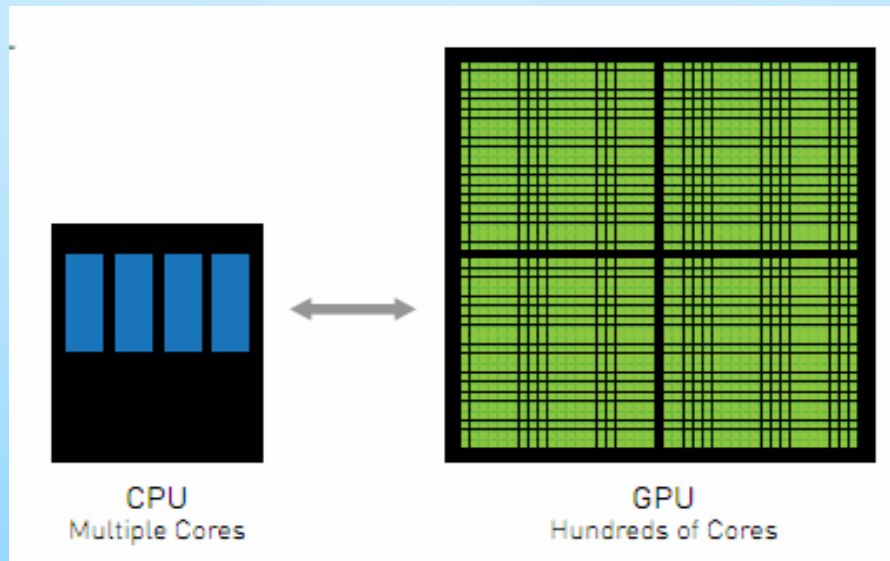
$d + {}^{58}\text{Ni}$ elastic cross section at $E_d = 80$ MeV



Для построения эффективного потенциала требуется базис значительно меньшей размерности чем для решения исходной трехчастичной задачи.

Новые вычислительные возможности

Матричный пакетный подход имеет очень хорошее сопряжение с новыми вычислительными техниками, такими как вычисления на графических процессорах (GPU).



Возможные направления обобщения пакетной техники

Описание резонансов в многоканальных и малочастичных системах.

Дискретная версия нестационарной теории рассеяния.

Дискретизация релятивистских уравнений Бете-Солпитера.

Квантовая статистика.

Применение техники дискретизации к фейнмановскому формализму континуальных интегралов.

Литература

А. Мессиа, Квантовая механика.

Р. Ньютон, Теория рассеяния волн и частиц.

О.А. Rubtsova, V.N. Pomerantsev, V.I. Kukulin, A. Faessler, Phys. Rev. C **86**, 034003 (2012).

V.N. Pomerantsev, V.I. Kukulin, O.A. Rubtsova, Phys. Rev. C **79**, 034001 (2009).

О.А. Rubtsova, V.I. Kukulin, V.N. Pomerantsev, Phys. Rev. C **79**, 064602 (2009).

В.И. Кукулин, О.А. Рубцова, ТМФ **134**, 459 (2003).

Спасибо за внимание!